

仙台新港における波浪变形調査

東北工業大学 正員・佐藤 達己
 同上 正員 沼田 審
 同上 正員 高橋 敏彦

1はじめに

塩釜港(仙台港区)でIJ、港湾計画の基礎資料とするため 1962年8月から現在まで波浪の現地観測を継続・実施している。当初は、仙台市浦生地先で観測していたが、1969年からは、観測地点を仙台新港南防波堤付近、南側地先沖合約900m、水深-15.4mの地点(図-1のB点)に移し観測してきた。しかし、南防波堤の伸長に伴い観測値には、南防波堤からの反射波の影響が加味されるのではないかという疑問が出されるようになった。そのため、運輸省塩釜港工事事務所では、南防波堤先端から、E 46° 15' 方向、2400m沖合、水深-20.2mの地点(図-1のA点)に、新たに超音波式波高計を設置し、1979年1月から9月まで新旧両観測地点で、波高・波向の同時観測を実施している。ここでは、この2地点における波浪記録を統計的に比較し、若干の考察を試みた。

2 解析資料および解析方法

ここで比較した両観測地点の波高・波向の実測資料は、表-1に示す同時観測期間のものである。両観測地点の実測資料は、最大波高・有義波高・有義波周期について分類し、最小二乗法により相関をみた。ただし、波高については、全データ・周期別および波向別に、周期についても、全データおよび波向別に分類している。波向については、両観測地点における同時観測値のみを抽出し、その周期別・波向別発生回数と百分率を調べた。

3 結果および考察

(1) 最大波高についての相関

図-2に示すように、全データについてみると平均的には、A点の波高(HA)がB点の波高(HB)に比べ20cm程度大きい。周期別にみれば、T=9.0sec以下では波高が小さい間はHAの方がHBよりも大きくなり、HBが1.5~3.0m以上になるとこの関係が逆転するが、T=9.0sec以上では、波高に関係なくHAの方がHBよりも大きくなるほどその傾向が明確になるようである。

(2) 有義波高についての相関

全データについてみると平均的にはHAはHBより大きいが、その差は、波高が増大する程大きくなっている。また、周期別に比較した場合、5.1~7.0secにおいては、HA=HBとみなすことができるが、周期が長くなるにつれて、また、波高が大きい程、HAはHBより大きくなる傾向が見られる。特に、図-3に示すT=11.1~13.0secの場合には、波高に関係な

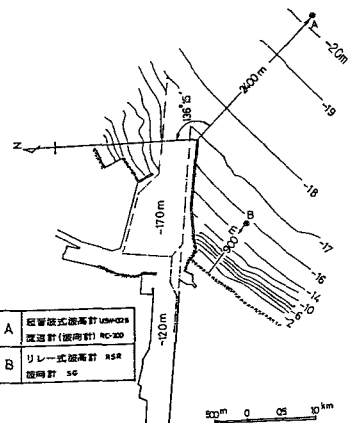


図-1 波浪観測点位置図

地點	標	年 月	年											
			1	2	3	4	5	6	7	8	9	10	11	12
A (新装置)	超音波式 USW-132型	波高計	USW-132型	波浪計(波向計) RC-200型										
	リレー式 RSR	波高計												
B (旧装置)	リレー式 RSR	波高計												
	SC型	波向計												

表-1 両観測地点における同時観測期間

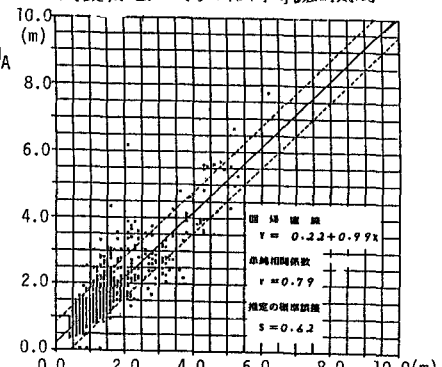


図-2 最大波高の相関(全データ)

(HA)の方が、0.75m程度大きい値を示している。波向別に比較した場合でもHAはHBより大きくHBが大きくなるにしたがいその差が大きくなる傾向は、全く同じであるが海岸線に沿う直角に測定するSE方向波のときとの差が最も大きく、南寄りのSS-E方向波のとき、その差が一番小さくなっている。全データを平均的に取り扱えば、(HB)/_{1/3} = 0.83(HA)/_{1/3}程度と考えられる。図-4は、A地点からB地点までの屈折の影響を無視して、式(1)

$$\frac{HB}{HA} = K_f = \left[1 + \frac{64 \cdot \pi^3}{3 \cdot g^2} \cdot \frac{f \cdot HA \Delta X}{h^2} \cdot \frac{k_s^2}{T^2} \cdot \frac{1}{\sin h^3 kh} \right]^{-1} \quad (1)$$

より海底摩擦による波高減衰率を計算して結果で、T=6, 10secの場合のみを示した。実測値と同様、周期が長くなる程減衰率は大きくなるが、減衰率を0.8前後とするには、海底摩擦係数の値を、デレッドショナイダーの提唱している値0.01より大きい値をとる必要がある。この海岸の場合、f=0.05程度と推察される。

(3) 有義波周期の相關

図-5からもわかるように、相関係数TJ、0.6前後で最大波高、有義波高に比べ相関は悪い。また、いずれの波向に対しても、B点の周期TB=6.0 sec以下では、A点の周期TAの方が大きく、TB=6.0 sec以上では、逆にTBの方が大きい値となっている。この傾向は、波向が南に偏するにしたがって明確になるようである。

(4) 波向について

表-2に示すように、A点、B点ともSE方向波の波の発生回数が最も多く、ついで、ESE, SSEの順となっているが、A点におけるSS-E方向の発生回数が全体の約25%程度をしめ、周期が短くなる程、その発生割合が大きくなっているのが注目される。

4.あとがき

本研究を行なうにあたり、運輸省福井港工事事務所 川島 康弘所長はじめ、所員の方々に、種々御協力、御高配を賜った。記して感謝の意を表します。

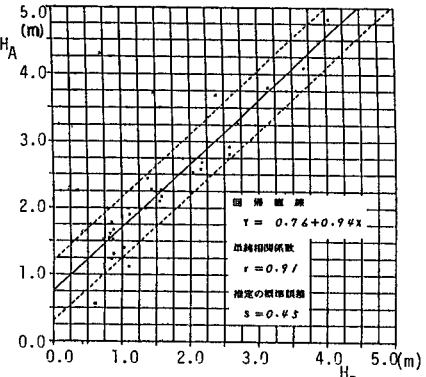


図-3 有義波高の相關(T=11.1~13.0sec)

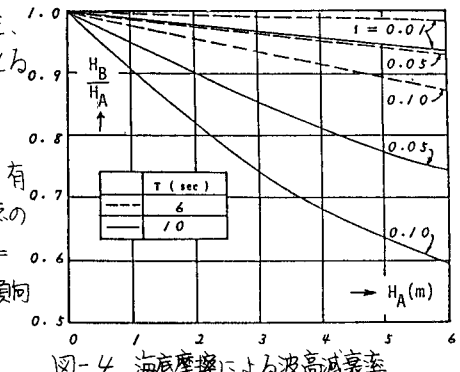


図-4 海底摩擦による波高減衰率

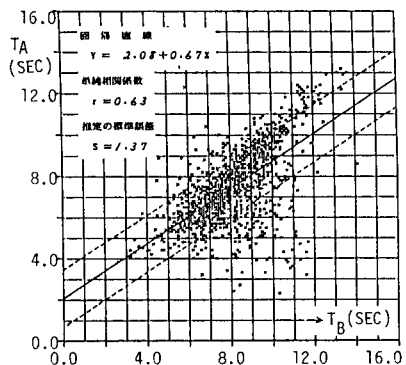


図-5 有義波周期の相關(全データ)

地 点 周 期 (sec)	U S W (A 点)					総 回 数	R S R (B 点)					
	E	ESE	ES	SSE	S		E	ESE	ES	SSE	S	
5.1~7.0	2 (3.5)	16 (28.1)	17 (29.8)	21 (36.8)	1 (1.8)	0 (0)	57 (100)	0 (0)	26 (45.6)	26 (45.6)	3 (5.2)	/ (1.8)
7.1~9.0	0 (0)	15 (22.7)	31 (47.0)	20 (30.3)	0 (0)	0 (0)	66 (100)	4 (6.1)	23 (34.8)	36 (54.5)	2 (3.0)	/ (1.5)
9.1~11.0	0 (0)	21 (38.9)	28 (51.9)	5 (9.2)	0 (0)	0 (0)	54 (100)	1 (1.9)	2.2 (40.7)	3.0 (55.5)	0 (1.9)	0 (0)
11.1~13.0	0 (0)	0 (0)	1 (100)	0 (0)	0 (0)	0 (0)	0 (100)	0 (0)	0 (100)	0 (0)	0 (0)	0 (0)
合計	2 (1.1)	52 (29.2)	77 (43.3)	46 (25.8)	1 (0.6)	0 (0)	178 (100)	5 (2.8)	71 (39.9)	93 (52.2)	6 (3.4)	2 (1.1)

表-2 周期別波向別発生回数および百分率の比較 [()内の数字は百分率]

参考文献

合田良実：浅海域における波浪の波浪
変形 港湾技術研究所報告
第14巻第3号 1975年 pp59~106